Vol. 32 No. 6 Dec. 2024

李昱昀,徐盛,程先明,等.硫酸镁亚型盐湖卤水生产硫酸钾工艺计算模型[J].盐湖研究,2024,32(6):32-40.

Li Y Y, Xu S, Cheng X M, et al. Calculation model of potassium sulfate production process from magnesium sulfate subtype salt lake brine [J]. Journal of Salt Lake Research, 2024, 32(6): 32-40.

DOI: 10.3724/j.yhyj.2024034 CSTR: 32273.14.j.yhyj.2024034

硫酸镁亚型盐湖卤水生产硫酸钾工艺计算模型

李昱昀*,徐盛,程先明,曹伟,杨三妹 (中蓝长化工程科技有限公司,湖南长沙 410116)

摘 要:文章利用 K^+ 、 Mg^{2+} 、 Na^+ // Cl^- 、 SO_4^{2-} — H_2O 五元介稳相图水盐体系理论数据和类似项目采集的工艺数据,基于物料平衡原理,建立了一种由硫酸镁亚型盐湖卤水生产硫酸钾全流程物料平衡的计算模型,并以我国西部某盐湖卤水生产硫酸钾为应用对象,证明该计算模型设计合理,简单明了,可操作性强。

关键词:计算模型;硫酸镁亚型;硫酸钾

中图分类号:TO131.13

文献标志码:A

文章编号:1008-858X(2024)06-0032-09

硫酸钾作为一种化工原料,主要用于制造钾明矾、钾水玻璃、碳酸钾等。作为肥料,硫酸钾是一种不含氯的优质钾肥,主要用在一些忌氯经济作物,如西瓜、茶叶、烟草、柑橘、葡萄等,使用硫酸钾可以改善其内在品质,如烟草,可提高其可燃性;葡萄、柑橘、西瓜,可提高其糖度等[1]。

硫酸钾的生产在很大程度上依赖于钾矿资源, 根据钾资源赋存形式,硫酸钾的生产方法可分为以 下三类。一是从天然矿物(如钾镁矾、明矾石、杂卤 石、钾芒硝等)中直接提取;二是转化法,以氯化钾、 硫酸、含硫酸根的物质(如芒硝、硫酸铵、硫酸钙、硫 酸镁等)为原料;三是复分解法,以硫酸盐型盐湖卤 水为原料提取硫酸钾,如新疆罗布泊盐湖[2,3]。其中 盐湖盐水生产硫酸钾生产成本低、钾回收率高,目 前,国内硫酸钾主要来源于硫酸镁亚型盐湖卤水生 产。不同地理位置的硫酸镁亚型盐湖,卤水组成有 所差别,但硫酸钾生产工艺大同小异,工艺主要流程 如下:将采出的含钾卤水经盐田日晒分级结晶析出 氯化钠和泻利盐后,再继续蒸发晒出钾混盐和光卤 石,然后将这两种盐田矿在选矿厂分解转化-浮选得 到软钾镁矾精矿和氯化钾精矿,最后将软钾镁矾和 氯化钾精矿混合加水转化结晶得到硫酸钾产品[4,5]。

盐湖卤水生产硫酸钾工艺,工艺流程长,工艺较复杂,涉及盐田分级摊晒、软钾镁矾浮选、氯化钾浮选、硫酸钾复分解转化等工段。在做工艺计算时,涉及的物料参数和工艺过程多,计算工作量大,特别是

物料闭路循环的计算,如兑卤工艺、软钾镁矾和氯化 钾浮选母液的返回、硫酸钾转化母液的返回等,计算 过程复杂,一般的计算过程是化工专业提供初始计 算结果给选矿专业,选矿专业根据提资再把计算结 果返给化工专业,依此类推,一般至少3次循环(循 环次数越多,计算偏差越小),往往需要花费大量的 时间和精力,严重影响着研究、设计的进度,给研究 和设计者及生产管理者带来诸多困难。我国盐湖钾 资源的开发已相当成熟,大规模生产硫酸钾技术已 达到世界领先水平,查询国内外相关技术资料,盐田 蒸发方面的相关计算模型有少量报道[6,7],但对于用 卤水盐田法生产硫酸钾闭路计算软件或计算模型均 未见报道。针对该类型盐湖卤水生产硫酸钾工艺的 计算,本文从实际应用出发,以我国西部某盐湖卤水 为对象,结合已有的工艺参数和工程经验,设计开发 了一种以硫酸镁亚型盐湖卤水生产硫酸钾全流程物 料平衡的计算模型,该计算模型很好地解决了工艺 计算过程中物料闭路循环计算复杂,工作量大,系统 物料难平衡的棘手问题。

1 确定工艺路线

1.1 原卤组成

本文以我国西部某盐湖卤水为研究对象,该原料卤水组成如表1所示。

收稿日期:2023-08-04;修回日期:2023-10-18

基金项目:新疆维吾尔自治区重点研发计划项目(2022B01041)

(通信)作者简介:李昱昀(1979-),男,硕士,注册化工工程师,高级工程师,主要从事化工设计和研发工作。Email:lyyysm@163.com。

表1 原料卤水组成及J值

Table 1 Composition and phase diagram index J of raw brine

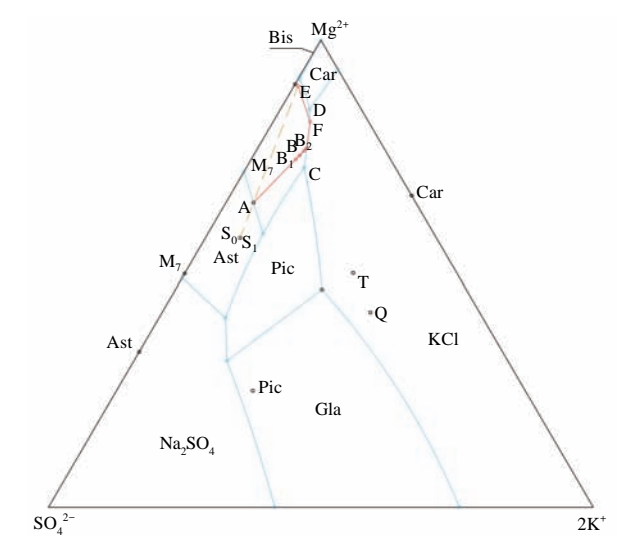
项目		备注					
	2K ⁺	Mg ²⁺	2Cl	SO ₄ ²⁻	2Na ⁺	H ₂ O	首 往
组成/(wt%)	0.73	3.20	13.15	7.62	5.69	69.61	其他组成 忽略不计
$J(2K^{+}+Mg^{2+}+SO_{4}^{2-}$ =100 mol)	4.258	59.74	36.00	56.2	_	1 754.5	S_0

1.2 盐田工艺

根据矿区的当地气象资料,主蒸发期为每年 4—10月,平均气温为 14.7 °C,因此,该盐湖卤水盐田蒸发采用 15 °C Na⁺、 K^+ 、 $Mg^{2+}//Cl^-$ 、 SO_4^{2-} — H_2O 五元介稳水盐体系相图^[8]作为计算理论基础。

将原卤组成耶涅克指数 J 值标于 15 ℃五元相图 干基图中,原卤组成系统点落在干盐相图白钠镁矾相区内 S₀点。随着卤水蒸发浓缩,析出矿物顺序依次为氯化钠(NaCl)、白钠镁矾混盐(NaCl+Na₂SO₄· MgSO₄· 4H₂O)、泻利盐混盐(NaCl+MgSO₄· 7H₂O)、钾混盐(NaCl+KCl+MgSO₄· 7H₂O)、光卤石混盐(NaCl+MgSO₄· 7H₂O+KCl·MgCl₂· 6H₂O)、水氯镁石混盐(NaCl+MgSO₄· 7H₂O+MgCl₂· 6H₂O)。为提高析出的钾混盐矿钾品位,同时保证钾混盐硫酸根与钾离子含量配比达到转化一浮选软钾镁矾理想的工艺要求,通过兑卤(析钠后的卤水掺兑老卤)调整卤水组成点,缩短泻利盐阶段蒸发路线,同时将部分泻利盐阶段并入到钾混盐阶段。因此,卤水蒸发过程可划分为氯

化钠阶段、泻利盐阶段、钾混盐阶段、光卤石阶段,最终形成富含硼、锂的老卤,卤水蒸发结晶路线如图 1中 $S_0(S_1)$ -A-B-F-E。

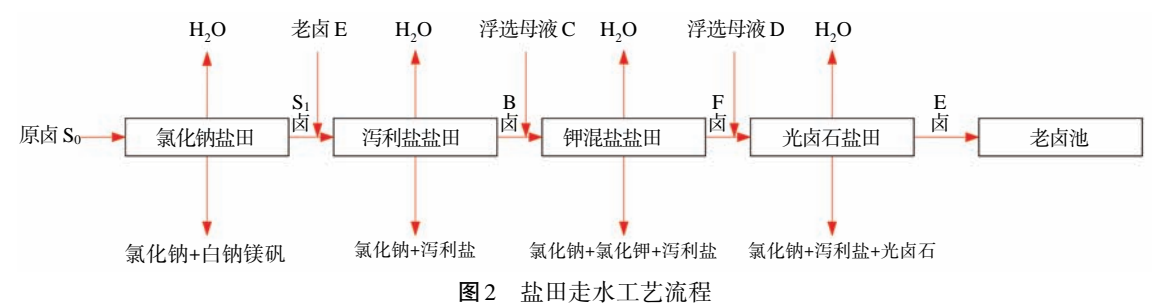


 $Ast: Na_2SO_4 \cdot MgSO_4 \cdot 4H_2O; \ Gla: Na_2SO_4 \cdot 3K_2SO_4; \\ Pic: K_2SO_4 \cdot MgSO_4 \cdot 6H_2O; \ M_7: MgSO_4 \cdot 7H_2O; \\ Car: KCl \cdot MgCl_7 \cdot 6H_7O; \ Bis: MgCl_7 \cdot 6H_7O \\$

图 1 15 ℃卤水蒸发结晶路线

Fig. 1 15 °C brine evaporation crystallization route

根据卤水蒸发过程中矿物成分析出的先后顺序, 盐田的布局被划分为氯化钠盐田、泻利盐盐田、钾混 盐盐田、光卤石盐田以及最终形成的老卤池。钾混 盐田和光卤石盐田产出的钾混盐矿和光卤石矿分别 采收运送至钾肥浮选生产车间生产软钾镁矾和氯化 钾。其盐田走水工艺流程如图 2。



国2 益田足水工乙烷性 Fig. 2 Salt field process flow

1.3 加工工艺

首先分别通过软钾镁矾浮选装置和氯化钾浮选 装置生产软钾镁矾精矿和氯化钾精矿,然后将这两 种精矿按比例混合后形成混钾精矿,再通过转化结 晶方式生产硫酸钾产品^[9]。在硫酸钾实际生产过程 中,软钾镁矾精矿和氯化钾精矿可能存在不匹配的 问题,根据卤水资源组分情况,最终的产品都可进行 调整。如氯化钾精矿有富余,通过再浆洗涤过滤生 产氯化钾产品,如软钾镁矾精矿有富余,通过分解转 化生产硫酸钾产品或再浆洗涤生产钾镁肥。下面为 以氯化钾富余为例,介绍浮选加工工艺流程,如图 3。

整套工艺装置主要由软钾镁矾浮洗系统、氯化钾浮选系统、硫酸钾系统、氯化钾(氯化钾富余)系统构成,简述如下。

(1) 软钾镁矾浮选系统:将钾混盐矿倒入料仓, 经破碎、磨矿后料浆倒入转化槽,转化后进行浮选

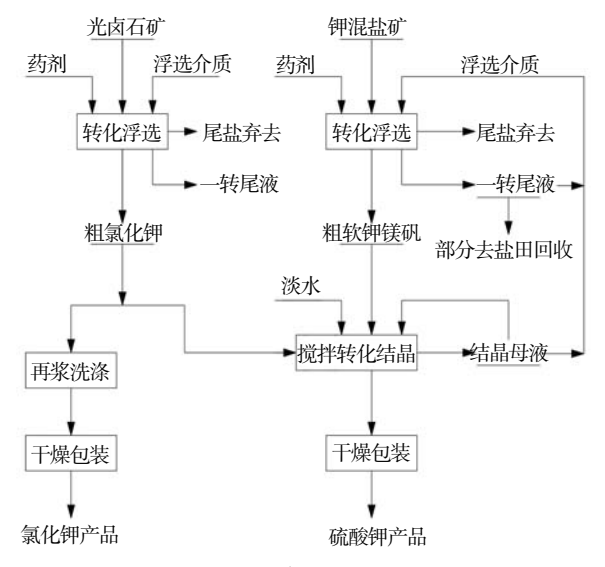


图 3 浮选加工工艺流程 Fig. 3 Flotation processing flow

(一粗、一扫)。浮选矿浆过滤得到的滤饼去混钾洗涤槽洗涤,尾盐料浆过滤淋洗,滤液返回钾混盐盐田,尾盐排出。

(2) 氯化钾浮选系统:将盐田光卤石矿倒入料仓,经筛分破碎送至分解罐,充分分解转化的钾石盐矿浆经浮选阶段(一粗、一精、一扫)进行浮选。浮选矿浆过滤得到的滤饼去混钾洗涤槽洗涤,尾盐料浆过滤淋洗后滤液返回光卤石盐田,尾盐排出。

- (3) 混钾洗涤过滤和转化结晶工段:将软钾镁矾 浮选系统和氯化钾浮选系统得到的两种精矿按比例 混合、搅拌洗涤,混合洗涤的料浆过滤,得到的滤饼 转入硫酸钾结晶器转化结晶。
- (4) 硫酸钾离心分离和干燥包装工段:将结晶器 出来的硫酸钾料浆过滤,过滤分离的母液返回混钾 洗涤槽,分离的湿硫酸钾经干燥得到硫酸钾产品。
- (5) 氯化钾系统: 富余的氯化钾精矿滤饼送去再 浆洗涤槽进行洗涤,洗涤后的料浆过滤,过滤分离的 滤液返回分解槽参与光卤石矿分解,分离的滤饼经 干燥得到氯化钾产品。

2 编辑全系统工艺流程

根据盐田蒸发、浮选加工、硫酸钾合成各工段的 工艺流程编辑全系统工艺流程,其全系统工艺流程 如图 4 所示。

3 计算模型的输入参数

3.1 盐田工艺输入参数

(1)设计温度

依据该地区主蒸发季节(4—10月)平均气温为 14.7 ℃,采用 15 ℃ Na⁺、K⁺、Mg²⁺//Cl⁻、SO₄²⁻—H₂O 五

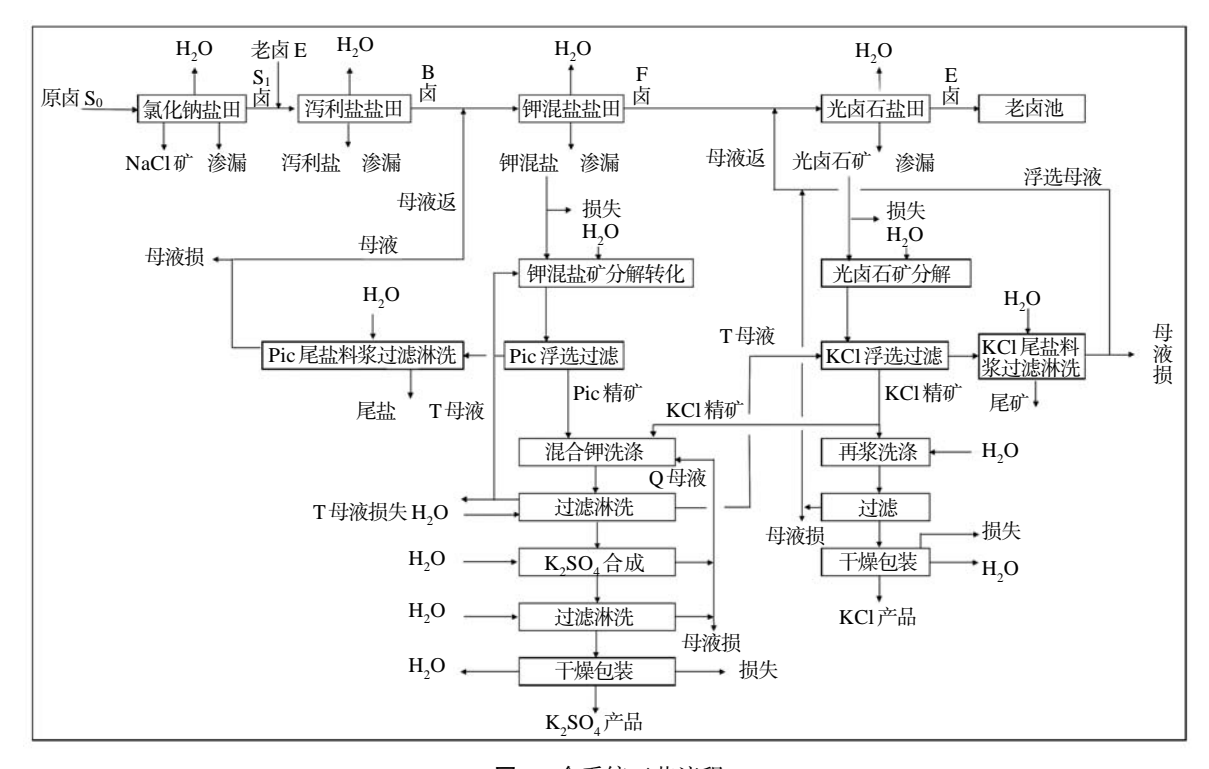


图4 全系统工艺流程

Fig. 4 System process flow

元水盐体系介稳相图作为计算理论基础。

(2) 年蒸发量

该矿区年淡水蒸发量为 2 970 mm, 年降水量为 20 mm, 年净蒸发量为 2 950 mm。

(3) 渗漏系数

根据该地区类似盐湖卤水蒸发盐田运行结果, 氯化钠盐田渗漏系数取 0.70 mm/d,泻利盐盐田渗漏 系数取 0.60 mm/d,钾混盐盐田渗漏系数取 0.40 mm/d, 光卤石盐田渗漏系数取 0.30 mm/d。

(4) 比蒸发系数

根据该地区类似盐湖卤水蒸发盐田运行结果, 氯化钠盐田比蒸发系数取 0.60,泻利盐盐田比蒸 发系数取 0.45,钾混盐盐田比蒸发系数取 0.35,光 卤石盐田比蒸发系数取 0.30,大面积盐田校正系数 取 0.70。

(5) 盐田工作制度

氯化钠盐田、泻利盐盐田蒸发作业时间均按365 d/a 计;钾混盐盐田(旱采)、光卤石盐田(旱采)蒸发作业时间均按270 d/a 计,控卤和采收作业时间按95 d/a 计,采收作业安排在冬季进行。

(6) 盐田矿物母液夹带

氯化钠盐田、泻利盐盐田析出的矿物母液夹带按 25.0% 计(不考虑采收),钾混盐盐田析出的矿物母液夹带按 15% 计(旱采),光卤石盐田析出的矿物母液夹带按 20.0% 计(旱采)。

(7) 其他

钾混盐盐田、光卤石盐田采收及运输过程矿物

损失率按 2.0% 计。

3.2 加工厂输入参数

(1) 浮选精矿

软钾镁矾浮选精矿和氯化钾浮选精矿母液夹带 均按 15% 计。

(2) 浮选尾矿

软钾镁矾浮选尾矿和氯化钾浮选尾矿母液夹带 均按 15% 计。

(3) 干燥包装收率

硫酸钾、氯化钾干燥包装收率均按99%计。

3.3 说明

上述输入参数可根据不同项目的实际参数进行修改。

4 建立盐田工艺计算模型

模型建立的主要依据为盐田蒸发每个阶段物料平衡,采用15°CNa⁺、K⁺、Mg²⁺//Cl⁻、SO₄²⁻—H₂O五元水盐体系介稳相图作为理论基础,并结合类似项目的相关生产数据或经验数据,通过盐田的进卤量、进卤组成、出卤组成、蒸发水量、析盐组成和渗漏量之间的平衡关系,求解该盐田实际出卤量、析矿量及盐田面积等参数。其计算模型如表 2、表 3、表 4 和图 5 所示。

表2 盐田工艺计算模型部分

Table 2 Part of the salt field process calculation model

				1 8	ible 2	Farto	n me sa	n neia j	process	carcurat	ion moa	eı				
阶段	卤水 质量/t	析盐	蒸发	相对			组成	/(wt%)			J(2K++Mg	2++SO ₄ 2-	=100 m	ol)	- 相图点
別权		质量/t	水量/t	比重	2K ⁺	Mg^{2+}	2Cl ⁻	SO ₄ ²⁻	2Na ⁺	$\rm H_2O$	2K ⁺	Mg^{2+}	SO ₄ ²⁻	2Na ⁺	$\mathrm{H_2O}$	相图点
原卤	10 000			1.26	0.73	3.20	13.15	7.62	5.69	69.61	4.258	59.74	36.00	56.2	1 754.5	S_0
氯化钠 阶段	10 000			1.26	0.73	3.20	13.15	7.62	5.69	69.61	4.258	59.74	36.00	56.2	1 754.5	S_0
阶段	6 778	1 303	1 919	1.27	0.26	3.33	29.66	20.08	22.40	24.27	0.945	39.21	59.85	139.5	385.8	
泻利盐	6 549			1.27	1.01	4.19	13.92	7.27	3.98	69.62	4.944	66.08	28.97	33.1	1 480.0	A
盐田	3 052	1 764	1 733	1.30	0.47	5.95	21.75	19.16	11.74	40.91	1.344	54.37	44.29	56.7	504.3	
钾混盐	3 042			1.30	1.96	5.41	17.07	4.61	1.88	69.07	8.491	75.29	16.22	13.8	1 296.0	В
阶段	2 234	357	451	1.31	5.98	5.51	25.08	18.45	11.15	33.83	15.427	45.80	38.77	48.9	379.1	
a Min	2 665			1.31	1.39	6.93	19.74	3.08	0.32	68.54	5.306	85.12	9.57	2.1	1 135.9	F
Car阶段	1 732	487	446	1.32	9.40	7.24	32.85	7.01	5.44	38.06	24.474	60.67	14.86	24.1	430.4	
Bis阶段				1.32	0.21	8.27	21.99	3.31	0.08	66.15	0.727	90.15	9.12	0.4	973.0	E

表3 盐田工艺计算模型部分

 Table 3
 Part of the salt field process calculation model

序号		月份	NaCl阶段	M7阶段	Pic阶段	Car阶段
1	年淡水蒸发量/mm		2 950.0	2 950.0	2 950.0	2 950.0
2	天卤水蒸发量/t		5.13	4.56	1.64	1.618
3	天有用蒸发量/t		4.94	4.17	1.60	1.57
4	实际进卤量/m³		21.71	14.11	8.68	7.53
		总量/m³	1.06	1.08	0.33	0.29
		总量/t	1.34	1.38	0.43	0.38
_	渗漏量/天	原卤总量/t	0.67	0.68	0.22	0.19
5		A1 卤总量/t	0.67	0.70	0.22	0.19
		渗漏析盐/t	0.129	0.404	0.035	0.053
		$W_{\rm H_2O}/m^3$	0.19	0.397	0.04	0.05
6	因渗漏而应补充的	卤量/(t/天)	1.66	2.18	0.51	0.48
7	实际可晒成品的卤	量/(t/天)	25.72	15.74	10.77	9.38
		形成A1卤水/t	6 368	2 681	2 133	1 647.6
0	大田 丰 14	累计形成 A1 卤水/t				
8	有用卤水	可析出盐量/t	1 224.4	1 549.5	341.0	463.8
		蒸发水量/t	1 802.7	1 521.7	430.5	424.2
9	本年析盐总量/t		1 271.6	1 697.0	350.3	478.2
10	厚度/cm(析出时的	堆集密度取1.5)	56.1	63.1	28.2	38.5
11	盐田累计结盐厚度	/cm	56.1	63.1	28.2	38.5

表4 盐田工艺计算模型部分

 Table 4
 Part of the salt field process calculation model

		盐田面积/m²	盐田面积/m² 1 509.9		S_0 原卤比重		比蒸发系数		0.60	S0卤	100	A卤成卤率		67.78
NaCl	基本	渗漏系数/(mm/d)	0.70	A卤b	化重	1.270	大面	积系数	0.70	析盐率	13.03	蒸失力	×率	19.19
阶段	参数	原卤 S_0 组成/($wt\%$)	$2Na^{+}$	5.690	$2K^{+}$	0.734	$Mg^{2^{+}}$	3.20	SO ₄ 2-	7.618	2Cl ⁻	13.147	H_2O	69.61
		S ₁ 卤水组成/(wt%)	$2Na^{+}$	3.979	$2K^{+}$	1.010	$Mg^{2^{+}}$	4.194	$\mathrm{SO_4}^{2-}$	7.270	2Cl-	13.923	蒸失水率 19.19 3.147 H ₂ O 69.61 3.923 H ₂ O 69.61 B 卤成卤率 46.60 蒸失水率 26.46 3.923 H ₂ O 69.61 3.979 H ₂ O 69.62 F 卤成卤率 73.44 蒸失水率 14.82 17.07 H ₂ O 69.07 19.74 H ₂ O 68.54 E 卤成卤率 64.98 蒸失水率 16.73 19.74 H ₂ O 68.54	69.61
	基本	盐田面积/m²	1 791.9	91.9 A比重		1.270	比蒸发系数		0.45	A卤	100	B卤成	卤率	46.60
泻利盐		渗漏系数/(mm/d)	0.60	B卤b	化重	1.300	大面积系数		0.70	析盐率	26.94	蒸失力	×率	26.46
阶段	参数	a卤组成/(wt%)	$2Na^{+}$	3.979	$2K^{+}$	1.010	$Mg^{2^{+}}$	4.19	SO ₄ ²⁻	7.270	2Cl ⁻	13.923	H_2O	69.61
		b点卤水组成/(<i>wt</i> %)	$2Na^{+}$	1.877	$2K^{+}$	1.965	$Mg^{2^{+}}$	13.923	$\mathrm{SO_4}^{2-}$	7.270	2Cl-	3.979	H_2O	69.62
		盐田面积/m² 828.5		B卤比重		1.300	比蒸	发系数	0.35	B卤	100	F卤成	卤率	73.44
钾混盐	基本	渗漏系数/(mm/d)	0.40	F卤b	比重	1.310	大面	积系数	0.70	析盐率	11.74	蒸失力	×率	14.82
阶段	参数	b卤组成/(wt%)	$2Na^{+}$	1.877	$2K^{+}$	1.965	$Mg^{2^{+}}$	5.413	0.70 析盐率 13.03 蒸 SO ₄ ²⁻ 7.618 2Cl ⁻ 13.1 SO ₄ ²⁻ 7.270 2Cl ⁻ 13.9 0.45 A卤 100 B点 0.70 析盐率 26.94 蒸 SO ₄ ²⁻ 7.270 2Cl ⁻ 13.9 SO ₄ ²⁻ 7.270 2Cl ⁻ 3.9 0.35 B卤 100 F点 0.70 析盐率 11.74 蒸 SO ₄ ²⁻ 4.612 2Cl ⁻ 17.5 SO ₄ ²⁻ 3.080 2Cl ⁻ 19. 0.30 F卤 100 E点 0.70 析盐率 18.29 蒸 SO ₄ ²⁻ 3.080 2Cl ⁻ 19.	17.07	H_2O	69.07		
		d卤水组成/(wt%)	$2Na^{+}$	0.320	$2K^{+}$	1.390	$Mg^{2^{+}}$	6.930	$\mathrm{SO_4}^{2-}$	3.080	2Cl	19.74	H_2O	68.54
		盐田面积/m²	953.4	F卤b	比重	1.310	比蒸	发系数	0.30	F卤	100	E卤成	卤率	64.98
CIMFIL	基本	渗漏系数/(mm/d)	0.30	E卤b	比重	1.320	大面	积系数	0.70	析盐率	18.29	蒸失力	×率	16.73
Car阶段	参数	b卤组成/(wt%)	$2Na^{+}$	0.320	$2K^{+}$	1.390	$Mg^{2^{+}}$	6.930	SO ₄ ²⁻	3.080	2Cl	19.74	H_2O	68.54
		d卤水组成/(wt%)	$2Na^{+}$	0.076	2K+	0.215	$Mg^{2^{+}}$	8.269	SO ₄ ²⁻	3.308	2Cl	21.99	$\rm H_2O$	66.15

5 建立加工厂计算模型

模型建立的主要依据为每个工段物料平衡,采用 15 °C和 25 °C的 Na⁺、 K^+ 、 $Mg^{2+}//Cl^-$ 、 SO_4^{2-} — H_2O 五元水盐体系介稳相图 [10] 和 55 °C K^+ 、 $Mg^{2+}//Cl^-$ 、

SO₄²—H₂O四元水盐体系相图^[11]作为理论指导,并结合类似项目的相关生产数据或经验数据,通过某装置的进料量、进料组成、出料组成等之间的平衡关系,求解出物料量及固液相组成等参数,其计算模型如表 5 和图 6 所示。

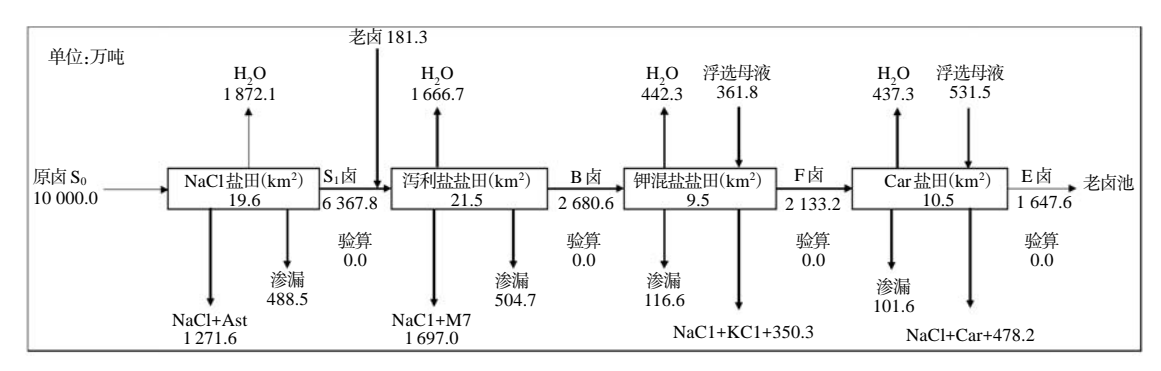


图5 盐田工艺计算模型部分

Fig. 5 Part of the salt field process calculation model

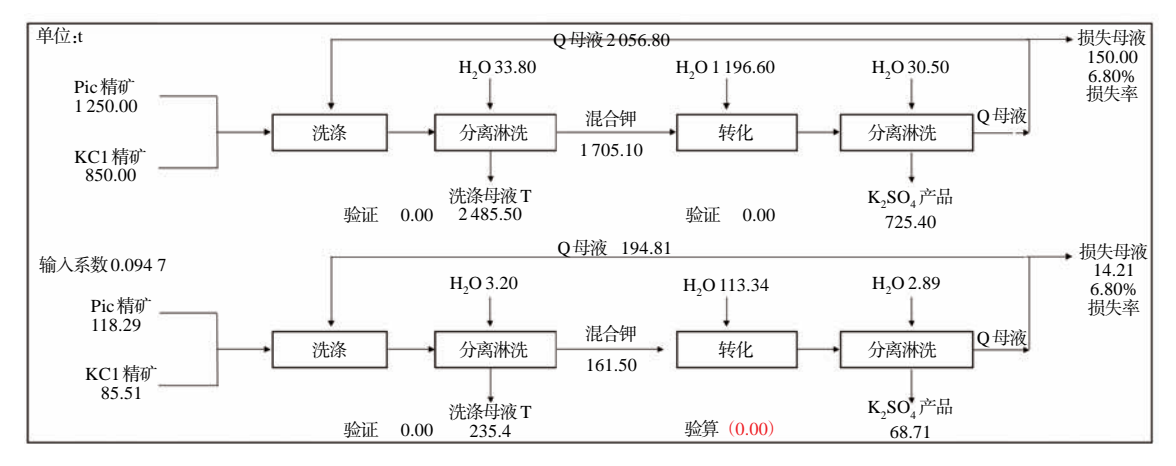


图 6 硫酸钾合成工艺计算模型

Fig. 6 Calculation model of potassium sulfate synthesis process

6 建立平衡连锁关系

- (1)把盐田的基础参数输入盐田计算模型中,并与表6盐田物料平衡数据建立关联,计算得到的数据再与工艺流程图4关联。
- (2) 软钾镁矾浮选、氯化钾浮选工艺物料平衡采 用理论和经验数据输入,利用多元一次矩阵方程两 次求解,求解得到的数据与工艺流程图 4 建立关联。
- (3) 硫酸钾合成工艺流程图 6 物料平衡采用经验数据输入(或相图理论数据或实验数据),根据工艺流程图 4 数据求解,求解后的数据与表 6 建立关联。
- (4) 工艺流程 7 物料平衡中浮选母液 C 和浮选母液 D 数据与表 2 计算数据通过迭代法使得两者数据一致。首先根据理论值假定 C 和 D 数据作为初始值,根据两者数据关联函数的收敛性,通过多次迭代使浮选母液 C 和浮选母液 D 数据与图 4 数据差值逼近零,实现物料循环闭路计算结果"归零"。
 - (5) 根据表 2 计算的矿物组成情况特别是钾混

盐组成情况,通过内插法调整 B 点组成来调整析出 矿物组成。

(6) 当钾混盐矿物和光卤石矿物组成满足要求后,再对母液 C 和母液 D 数据进行修正,使图 7 和表4中两者数据一致。

盐田与加工厂物料平衡连锁关系如表 6 所示, 表中数值单位均为吨。

7 输出结果

图 7 为计算模型输出结果,包括各级盐田面积、各工段物料平衡数据及各工段之间的联络关系,其每个工段进出物料平衡,整个系统物料闭路循环计算实现"归零",计算误差基本为零。

在原卤组成变化不大的情况下,针对不同生产规模的工艺计算,通过该计算模型,输入原卤量即可得到相应的计算结果。当原卤组成变化较大(白钠镁矾或泻利盐相区)时,输入相应的蒸发结晶数据(相图理论数据或实验数据)即可得到相应的计算结果。

表 5 浮选加工工艺计算模型 **Table** 5 Calculation model of flotation processing technology

一、盐田矿物		ble 5 Calcu		of flotation 析出盐质					
矿物名称	母液夹带								
		NaCl	Ast/M7	M6	KCl	Car	总量		
NaCl页	0	563.69	413.77				977.47		
泻利盐矿	0	565.51	910.59				1 476.10		
钾混盐矿	0	145.57	239.12		56.63		441.32		
光卤石矿	0	104.79		114.71	42.84	345.68	608.02		
矿物名称	母液夹带				且成/(wt%)				_
		K^{+}	Mg^{2+}	Cl ⁻	SO_4^{2-}	Na ⁺	H_2O	合计	
NaCl矿	0	0.0000	0.030 8	0.349 8	0.243 2	0.285 1	0.091 2	1.00	
泻利盐矿	0	0.000 0	0.060 8	0.232 4	0.240 5	0.150 7	0.315 6	1.00	
钾混盐矿	0	0.067 3	0.053 4	0.261 1	0.211 2	0.129 8	0.277 2	1.00	
光卤石矿	0	0.1169	0.069 8	0.355 7	0.079 3	0.067 8	0.3104	1.00	
矿物名称	母液夹带				且成/(wt%)				_
		K^{+}	Mg^{2+}	Cl-	SO_4^{2-}	Na^{+}	H_2O		母液名称
NaCl 矿	0.25	0.002 2	0.031 1	0.291 3	0.205 1	0.224 8	0.245 5	1.00	A
泻利盐矿	0.25	0.004 7	0.059 5	0.217 5	0.191 6	0.117 4	0.409 1	1.00	В
钾混盐矿	0.15	0.059 8	0.055 1	0.2508	0.184 5	0.111 5	0.338 3	1.00	F
光卤石矿	0.20	0.094 0	0.072 4	0.328 5	0.070 1	0.054 4	0.380 6	1.00	E
二、软钾镁矾浮选									
名称	单位				组成				_
11111	7-17	K^{+}	Mg^{2+}	Cl ⁻	$SO_4^{\ 2-}$	Na^+	H_2O	合计	
钾混盐矿	t	20.52	18.93	86.10	63.35	38.26	116.15	343.32	
母液T	t	9.61	4.85	24.06	7.26	4.13	132.60	182.51	
合计	t	30.13	23.78	110.17	70.61	42.40	248.74	525.83	
钾混盐矿分解	单位			组成					
押化益少万胜	- 中位	NaCl	Pic	M7	KCl	合计	-		
分解固体	t	79.14	103.10			182.24			
D:。海迷蛙矿	t	4.75	95.89			100.63			
Pic浮选精矿	wt%	4.72	95.28			100.00			
D:。海进艮矿	t	74.39	7.22			81.61			
Pic 浮选尾矿	wt%	91.16	8.84			100.00			
夕 轮	夹带母液			组	且成/(wt%)				
名称	天市母似	K^{+}	Mg^{2+}	Cl ⁻	SO ₄ 2-	Na ⁺	H_2O	合计	_
Pic浮选精矿	0	18.5	5.8	2.9	45.5	1.9	25.6	100.0	
Pic浮选尾矿	0	1.7	0.5	55.3	4.2	35.9	2.4	100.0	
Pic浮选精矿	0.15	16.1	5.5	4.7	39.4	2.0	32.2	100.0	
Pic浮选尾矿	0.15	1.8	1.1	49.3	4.4	30.9	12.5	100.0	
三、氯化钾浮选									
なわ	单位				组成				
名称	- 中位	K ⁺	Mg ²⁺	Cl ⁻	SO ₄ 2-	Na ⁺	H ₂ O	合计	_
光卤石矿	t	44.04	33.92	153.94	32.84	25.49	178.36	468.59	
母液T	t	2.79	1.40	6.98	2.10	1.20	38.44	52.90	
合计	t	46.82	35.33	160.92	34.95	26.69	216.80	521.50	
				组成					
光卤石矿分解	单位	NaCl	KCl	M7	Pic	合计	_		
分解固体	t	38.42	67.56	47.35		153.3			
	t	4.61	64.52	9.47		78.6			
KCl浮选精矿	wt%	5.87	82.09	12.05		100.0			
	t	33.81	3.04	37.88		74.7			
KCl浮选尾矿	wt%	45.24	4.07	50.69		100.0			
to T					且成/(wt%)				
名称	夹带母液	K ⁺	Mg ²⁺	Cl ⁻	SO ₄ ²⁻	Na ⁺	H ₂ O	合计	_
KCl浮选精矿	0	43.046	1.188	42.598	4.697	2.307	6.164	100.0	
KCl浮选尾矿	0	2.133	4.998	29.378	19.760	17.798	25.934	100.0	
	0.15	36.883	1.800	38.926	4.417	2.257	15.717	100.0	
KCl浮洗精矿	0.13	50.005		30.720		2.231			

表6 平衡连锁关系

Table 6 Balanced chain relationship

工段	方程	进	上 项			H	出项		
NaCl+Ast	- }: 4⊞ 1	原卤 S0		蒸发水	NaCl	Ast		母液A	
阶段蒸发	方程1	10 000.00		1 918.79	563.69	413.77		7 103.74	
兑卤+M7	方程2	卤水 S1	老卤E	蒸发水	NaCl	Ast		母液A	
阶段蒸发	刀性2	7 103.74	-202.24	1 932.93	565.51	910.59		3 896.95	
钾混盐	方程4	母液B	Pic浮选母液C	蒸发水	NaCl	M7	KCl	母液F	
阶段蒸发	刀性4	3 896.95	526.01	655.47	145.57	239.12	56.63	3 326.18	
	→- 4 □ 7 (1)	母液F		蒸发水	NaCl	M6	KCl	母液D	
	方程5(1)	3 326.18		165.09	38.53	39.71	28.15	3 054.70	
光卤石	方程5(3)	KCl浮选母液		蒸发水	NaCl	M6	KCl	母液D	
	月性3(3)	828.88		153.55	36.54	10.92	14.70	613.19	
阶段蒸发	方程5(2)	母液D		蒸发水	NaCl	M6	Car	母液E	
	月住3(2)	3 939.36		647.93	29.72	64.09	345.68	2 851.95	
	V7T	母液F	KCl浮选母液	蒸发水	NaCl	M6	Car	母液E	KCl
	合计	3 326.18	828.88	966.56	104.79	114.71	345.68	2 851.95	42.84
Pic浮选	→ :#1 (钾混盐矿	母液T	加水	NaCl		Pic	浮选母液C	
(计算精尾矿组成)	方程6	343.32	-182.51	-61.59	79.14		103.10	405.18	
细油水液冲	-): 40.7	钾混盐矿	母液T	加水	Pic尾矿		Pic精矿	浮选母液C	
钾混盐浮选	方程7	343.32	-182.51	-61.59	96.01		118.39	373.02	
KCl浮选	-): #₽ o	光卤石矿	母液T	加水	NaCl	M7	KCl	浮选母液D	
(计算精尾矿组成)	方程8	468.59	0.00	-237.05	36.25	43.34	62.96	563.09	
VCI海进	士和 0	光卤石矿	母液T	加水	KCl尾矿		KCl精矿	浮选母液D	
KCl浮选	方程9	468.59	0.00	-237.05	81.65		86.05	537.94	

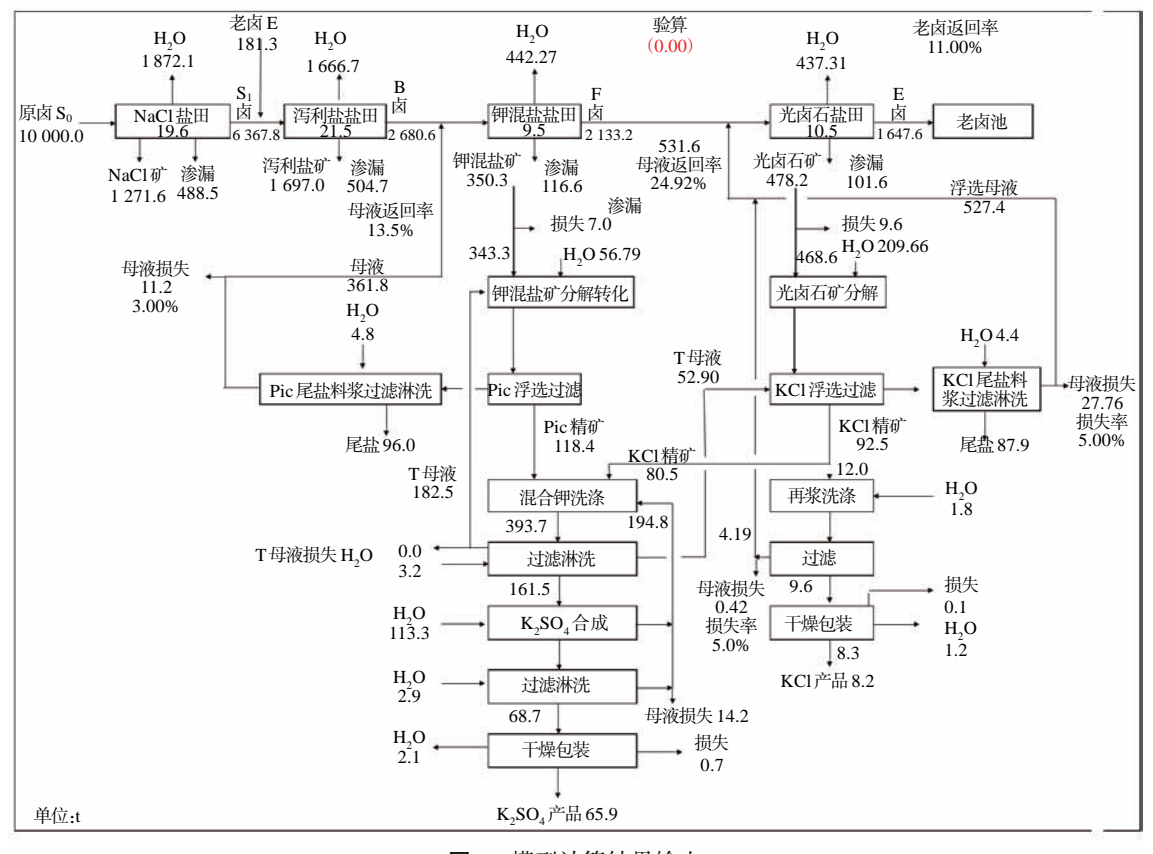


图7 模型计算结果输出

Fig. 7 Output of model calculation results

针对不同区域的硫酸镁亚型盐湖,还需要根据 当地的气候条件如气温、淡水年净蒸发量、盐田防渗 要求等对模型中的参数进行调整。比如温度,需要 根据不同温度相图数据调整模型中相应的理论数 据。比如淡水年净蒸发量和盐田防渗要求不同,需 要对年蒸发量、渗漏系数等输入参数作相应的调整。

不同的生产企业,在生产工艺或设备选型上可能存在差别,比如盐田矿物采收方式有水采或旱采,采收方式不同,采收的盐田矿物母液夹带不同,则需根据类似生产经验对数据进行修正。比如采用不同的固液分离设备,其母液夹带也存在差别等等。

因此,针对不同类型的项目,应当根据项目具体情况调整计算模型中的相关参数,以确保模型计算结果更加符合项目实际。

8 结 论

该计算模型简化了系统物料循环计算复杂过程,模型结构设计直观合理,其无穷次物料闭路循环计算结果"归零"。建立后的模型操作简单、高效,只需手动输入很少的参变量,例如盐田大面积校正系数、盐田渗漏系数、比蒸发系数、母液夹带、固液相组成等参数,就可以得到相应的计算结果,包括工艺参数和系统物料平衡等。该模型灵活,易变通,在实际生产操作过程中,可根据实际的生产数据对计算模型中的参数进行修改或调整,也可以根据实际生产情况调整或增减计算模型中工艺流程的物料平衡关系,使计算模型与实际生产情况更加吻合。还可以在工艺允许的条件下,调整相应的工艺控制参数,如兑卤量、导卤点来调整产品方案。

该计算模型相对全面,涵盖了盐田工艺、钾盐浮选工艺和硫酸钾合成工艺内容。该计算模型快速便捷,通过该计算模型能够快速有效地获得盐田面积、物料组成、物料平衡、控制参数等,很大程度地提高了工作效率。该计算模型不仅可应用于项目的前期决策、试验研究、方案设计、方案优化及施工图设计阶段,而且对生产企业的生产管理、生产过程的工艺分析诊断、工艺优化、生产考核及生产前景预测都有很好的分析引导作用。

参考文献

- [1] 程怀德,马海州.中国硫酸盐型盐湖资源及无氯钾肥开发展望[J].无机盐工业,2008,40(3);8-10.
- [2] 何红丽. 我国硫酸钾工业的现状及未来发展展望[J]. 盐湖研究,2002,10(3):61-71.
- [3] 宋彭生. 盐湖及相关资源开发利用进展(续一)[J]. 盐湖研究, 2000,8(2):33-58.
- [4] 李浩,唐中凡,尹新斌,等.利用罗布泊盐湖卤水制取硫酸钾工艺试验研究[J].盐业与化工,2008,37(2):9-12.
- [5] 李浩, 唐中凡, 刘传福, 等. 新疆罗布泊盐湖卤水资源综合开发研究[J]. 地球化学, 2008, 29(4): 517-524.
- [6] 王石军. 察尔汗盐湖盐田卤水管理的数学方法探讨[J]. 化工矿山技,1998,(1):56-60.
- [7] 田红斌. 察尔汗盐湖卤水相图数学模型的建立及应用[J]. 盐业与化工,2002,(6):28-31.
- [8] 金作美,周惠南,王励生. Na⁺、K⁺、Mg²⁺//Cl⁻、SO₄²⁻—H₂O五元 体系 15 ℃介稳相图研究[J]. 高等化学学报,2002,(4):690-694.
- [9] 秦兆明.罗布泊盐湖卤水制取软钾镁矾技术工艺研究[J].现代盐化工,2016,(1):27-29.
- [10] 金作美,肖显志,梁式梅. (Na^+,K^+,Mg^{2+}) , (Cl^-,SO_4^{-2-}) , H_2O 五元系统介稳平衡的研究[J]. 高等化学学报,1980,(4):313-321.
- [11] 牛自得,程芳琴. 水盐体系相图及其应用[M]. 天津:天津大学出版社,2002.

Calculation Model of Potassium Sulfate Production Process from Magnesium Sulfate Subtype Salt Lake Brine

LI Yuyun*, XU Sheng, CHENG Xianming, CAO Wei, YANG Sanmei (Chonfar Engineering and Technology Co., Ltd., Changsha, 410116, China)

Abstract: This article uses K^+ , Mg^{2+} , Na^+/Cl^- , SO_4^{2-} — H_2O five element metastable phase diagram data and process data collected from similar projects to establish a material balance calculation model for the entire process of producing potassium sulfate from magnesium sulfate subtype salt lake brine. The calculation model is applied to the production of potassium sulfate from a salt lake brine in western China, proving that the design of the calculation model is reasonable, simple clear and has strong operability.

Key words: Computational model; Magnesium sulfate subtype; Potassium sulfate